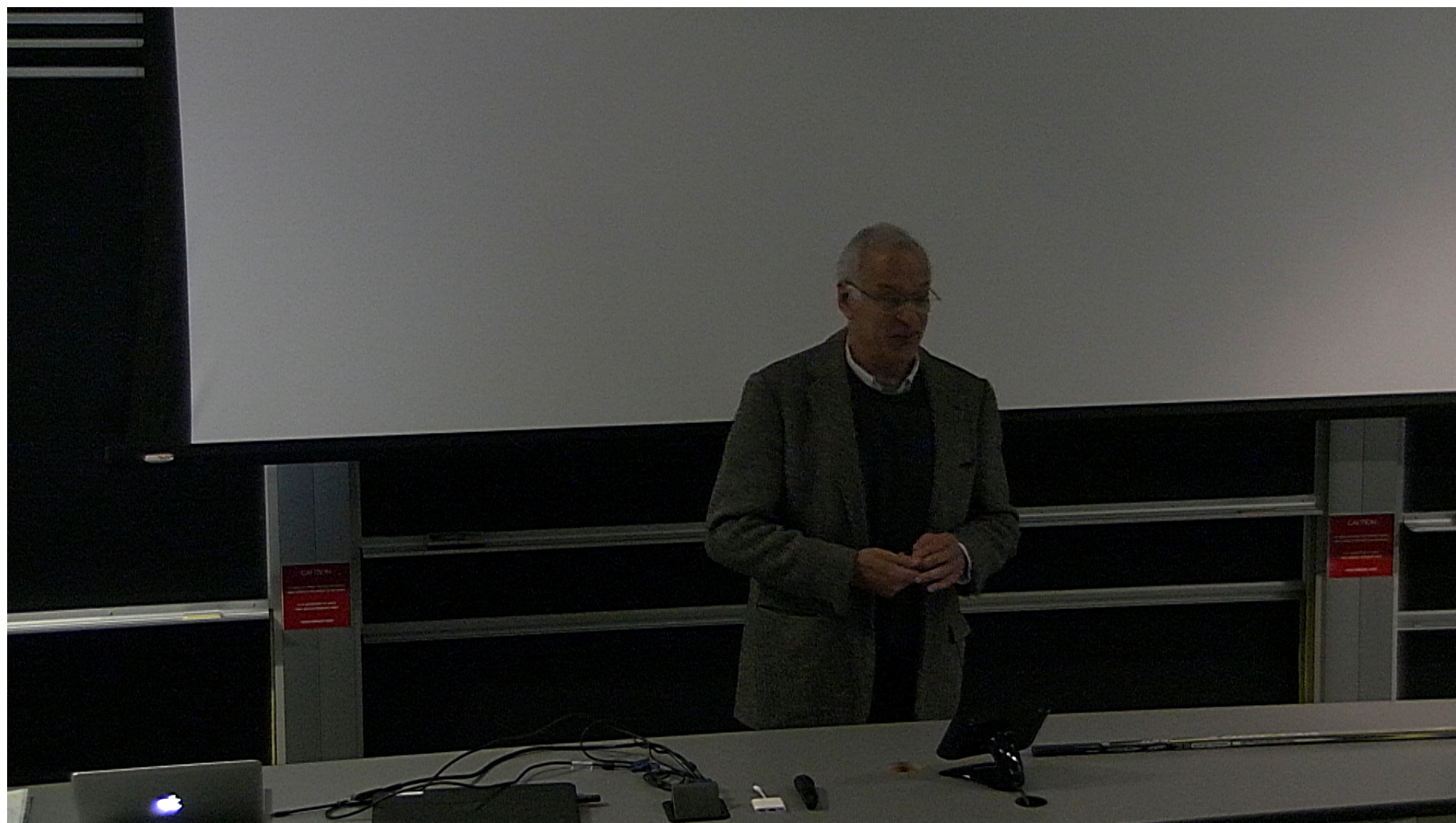


Title: TBA

Date: Nov 13, 2017 09:05 AM

URL: <http://pirsa.org/17110114>

Abstract:



**La signification du temps propre en mécanique ondulatoire**

par E. C. G. STUECKELBERG (Genève).

La théorie classique contenue dans

$$\ddot{q}^\mu = e B^{\mu\nu} \dot{q}_\nu \quad (1)$$

montre que  $-\dot{q}_\mu \dot{q}^\mu = (ds/d\lambda)^2 - m^2$  est une constante d'intégration. Le paramètre  $\lambda$  est donc proportionnel au temps propre  $s$ . Suivant que  $ds = \pm m d\lambda$  (1) représente une particule de masse  $m$  et de charge  $\pm e$ . Une particule à charge  $+e$  resp.  $-e$  est représentée par une ligne d'univers qui évolue vers le futur, resp. vers le passé, si  $\lambda$  augmente ( $\dot{q}^4 > 0$  resp.  $< 0$ ). La réaction de la particule sur le champ peut être décrite par une densité de charge

$$\varrho(\vec{x}, t=x^4) = e \int_{-\infty}^{+\infty} \dot{q}^4 d\lambda \delta(x^1 - q^1) \delta(x^2 - q^2) \delta(x^3 - q^3) \delta(x^4 - q^4) \quad (2)$$

Son intégrale spatiale vaut  $\pm e$ , suivant que  $\dot{q}^4 \gtrless 0$ .

La théorie quantique découle d'une Hamiltonienne  $R$  (correspondant à la masse, c. à d.  $R = -\frac{1}{2} m^2$ )

$$R = \frac{1}{2} \pi_\mu \pi^\mu; \pi_\mu = p_\mu - e \Phi_\mu(q). \quad (3)$$

Pour autant que les potentiels  $\Phi_4$  ne varient que dans des dimensions grandes par rapport aux longueurs d'ondes contenues dans la fonction  $\psi(q^1, q^2, q^3, q^4, \lambda)$ , le paquet d'ondes (normalisé à  $\iiint (dq)^4 |\psi|^2 = 1$ ) suit la ligne d'univers classique. Un champ électrique n'existant que pendant une très courte période au temps  $t = x^4 = 0$  est décrit par un potentiel  $\Phi^\mu = \text{constant}$ , qui possède une discontinuité sur l'hyperplan  $x^4 = t = 0$ . Cette discontinuité donne lieu, en plus de la réfraction du paquet d'ondes primaire (correspondant à l'accélération de la particule) à une *réflexion* qui correspond à la ligne d'univers d'une particule de même masse mais de *charge opposée*.

La normalisation de  $\psi$  et sa dépendance du "temps propre  $\lambda$ " présente certaines difficultés d'interprétation probabiliste. L'exemple décrit semble exprimer le fait suivant:

champ, et B) une probabilité  $W_B = 1 - W_A$  que la particule n'existe pas pour  $t < 0$  mais qu'elle est la partenaire d'une *paire de particules*  $(m, -e)$ ,  $(m, +e)$ , créée au moment  $t = 0$  par ce champ.<sup>(1)</sup>

**Über Verhinderung der Grenzschicht-Turbulenz durch Absaugung**

von M. RAS und J. ACKERET (E.T.H. Zürich).

Um die Oberflächen-Reibung möglichst klein zu halten, wäre es wünschenswert, die Grenzschicht im laminaren Zustand zu erhalten und deren Turbulentwerden zu verhindern. Bei der Parallelströmung längs ebenen Platten ist das Umschlagen der Grenzschicht vom laminaren in den turbulenten Zustand vor allem durch die Geschwindigkeits-Schwankungen der äusseren Strömung bedingt. Ist aber in der Strömungsrichtung ein Druckanstieg vorhanden, so bewirkt dieser das Umschlagen der Grenzschicht, selbst dann, wenn die äussere Strömung weitgehend frei von Schwankungen ist.

Es wurde nun versucht, durch Absaugen der wandnahen, stark abgebremsten Partien der Grenzschicht auch durch einen Druckanstieg hindurch die Grenzschicht im laminaren Zustand zu erhalten. Im Institut für Aerodynamik an der E.T.H. wurde ein kleiner Windkanal aufgebaut, dessen eine ebene Wand einem Druckanstieg ausgesetzt war. Im Gebiet dieses Druckanstieges war die Wand mit 35 quer zur Strömungsrichtung verlaufenden Absaugeschlitzen von je  $1/10$  mm versehen. Die Schlitze waren in Abständen von je 10 mm angebracht, wodurch eine fast kontinuierliche Absaugung erreicht wurde.

Die Versuche haben gezeigt, dass es tatsächlich möglich ist, eine laminare Grenzschicht mit Hilfe der Absaugung durch einen Druckanstieg hindurch laminar zu erhalten. Der Druckanstieg betrug 58% des Staudruckes und die minimal abzusaugende Menge ergab sich zu rund 100% der Verdrängungsdicke der Grenzschicht — unmittelbar vor dem Druckanstieg gemessen. Ohne Absaugung war schon nach einem Druckanstieg zwischen 10 und 15% ein Turbulentwerden der Grenzschicht zu beobachten. Der laminare bzw. turbulente Zustand der Grenzschicht wurde mit dem Stethoskop und durch den Hitzdraht festgestellt.

que le *phénomène de la création et de l'annihilation de paires de particules* n'avaient pas été découverts.

Aujourd'hui, vu la découverte de l'électron positif, les lignes *B* et *C* fig. 1 admettent une interprétation bien naturelle: Les deux intersections pour  $t (= x^4) = t_0 < 0$  de la ligne *B* représentent les deux endroits des deux partenaires d'une paire de particules. Cette paire est composée d'un électron positif et d'un électron négatif. Leurs lignes d'univers sont d'une forme telle qu'ils se

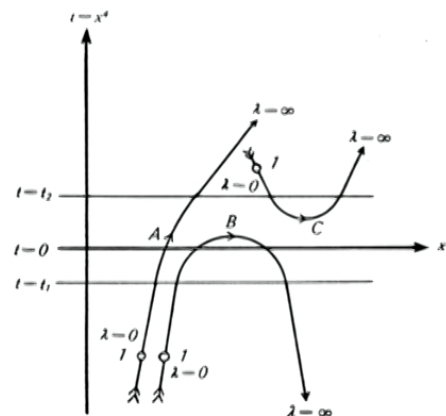


Fig. 1.

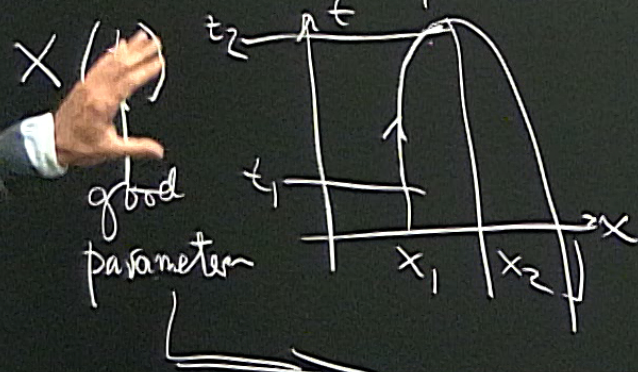
Lignes d'univers: *A*. type habituel (à chaque temps  $t = x^4$  correspond *un seul*  $x^1$  représentant l'endroit de la particule); *B*. type annihilation (à chaque  $t = x^4 \ll 0$  correspondent *deux valeurs de*  $x^1$  représentant les endroits d'une paire de particules qui vont s'annihiler pour  $t \sim 0$ ); *C*. type production de paire (à chaque  $t = x^4 \gg 0$  correspondent *deux valeurs de*  $x^1$  etc.).

rencontrent au moment  $t \sim 0$ , la ligne *B* décrit ainsi l'anéantissement mutuel des deux corpuscules. On comprend alors pourquoi, pour des temps  $t > 0$ , il n'existe plus aucune intersection, parce qu'il n'existe plus aucune de ces deux particules. La ligne *C* est l'illustration spatio-temporelle du phénomène contraire, c.-à-d. de la création d'une paire à l'instant  $t \sim 0$ .

## The significance of proper-time in the Q.M of the grav. field

-

Non relativistic particle . Path integral



$$\sum e^{-S[x(\epsilon)]} = K(2,1)$$

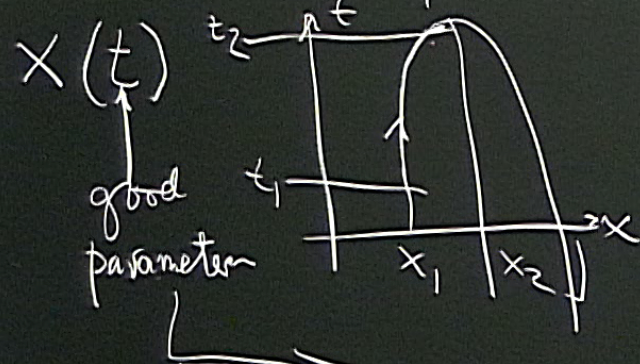
$K(2,1) \neq 0$   
 $\epsilon_2 < t_1$

K is a Green function

The significance of proper-time in the Q.M of the grav. field

-

Non relativistic particle . Path integral

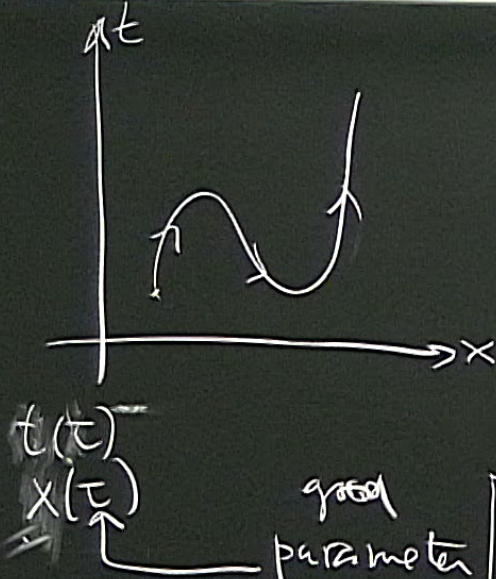


$$\sum e^{iS[x(\epsilon)]} = K(z_1, z_2)$$

$K(z_1, z_2) \neq 0$   
 $t_2 < t_1$

K is a Green function

2)



good  
parameter

$$\mathcal{H} = p_t + H(x, p_x, t) \approx 0$$

$$S = \int p_t \dot{t} + p_x \dot{x} - N \mathcal{H}$$

Integrates over  $x_1 \in I$ ,  $p_x \in P$   
AND  $N$

$$\int_{\tau_1}^{\tau_2} N d\tau = \int_{\tau_1}^{\tau_2} p_t \dot{t} + p_x \dot{x} - N \mathcal{H} d\tau$$

$\tau \rightarrow f(\tau)$  Identify all endpoints

$\tau = \tau + \xi(\tau)$  gauge invariance

$\delta N \rightarrow \delta f$

PROPER TIME

3) Initial (non parametrized) path integral is recovered  
if one integrates over positive  $N$

$$\int_0^{\infty} dN(\tau_2) |z| e^{-iN\tau} |1\rangle = \overbrace{1}^{pt + \frac{P^2}{2m} - i\epsilon}$$

$N(\tau_2 - \tau_1)$  proper time collapsed

The significance of proper-time in the Q.M of the grav. field

relativistic particle

$$\gamma \vec{p}_L^2 + \frac{\vec{p}^2}{2m} \longrightarrow -(\vec{p}^0)^2 + \vec{p}^2 + m^2$$

$$K(z, 1) = \left\langle z \left| \frac{1}{-(\vec{p}^0)^2 + \vec{p}^2 + m^2 - i\epsilon} \right. \right\rangle |1\rangle \quad \begin{pmatrix} \text{POSITIVE} \\ \text{PROPER TIMES} \\ \text{ONLY} \end{pmatrix}$$

or read

grav. field

relativistic particle

$$\gamma \vec{p}_c + \frac{\vec{p}^2}{2m} \longrightarrow -(\vec{p}^0)^2 + \vec{p}^2 + m^2$$

$$K(2,1) = \left\langle 2 \right| \frac{1}{-(\vec{p}^0)^2 + \vec{p}^2 + m^2 - i\epsilon} \left| 1 \right\rangle \quad \text{(POSITIVE PROPER TIMES ONLY)}$$

$$\gamma \vec{p}_L + \frac{\vec{p}}{2m} \longrightarrow -(\vec{p}^0) + \vec{p}$$

$$K(2,1) = \left\langle 2 \left| \frac{1}{(-\vec{p}^0)^2 + \vec{p}^2 + m^2 - i\epsilon} \right. \right| 1 \rangle \quad \text{(POSITIVE PROPER TIMES ONLY)}$$

Quantized field      Analogous to NR particle

$$\mathcal{H}(x) = p_t(x) + E(x)$$

spatial point      energy density ( $> 0$ )

$$K(2,1) = \int_{t_2 - t_1}^t \frac{1}{E(x)} dx$$

it ensures unitarity "in proper time"  
( Feynman rules )

Causality  
in proper time

"physical time" unitarity (only forward in)  
FOR THE FIELD does the same

Forward and  
backwards

in "physical" time

spatial part energy density

## Gravitational field

analog of  $x^\mu \leftrightarrow g_{ij}(x)$

metric  
of spacelike  
surface

$$-(\rho)^2 + \frac{r^2}{\rho} m^2$$

$$(right) H = \sqrt{G_{ij} \pi^{ij}} \pi^{kp}$$

$$-g^{(G)} R + 2g^A$$

$$G_{ij} = \frac{1}{2} (g_1 \pi g_2 \lambda + \dots) \text{ constant}$$

area

area

v. field

CAUTION

CAUTION

$$\mathcal{H}(x) = p_t(x) + E(x)$$

spatial front

energy density ( $>0$ )

$K(z, t) = 0$   
FIELD  
 $t_2 - t_1$

$$K_0 = G_{ij} k \ell \pi^j \pi^{i0} + 2 g_{ij}$$

(analog of  $(-\dot{t}_0^2) + \vec{p}^2/m^2$ )

$$g_{ij} = g^{1/3} \delta_{ij} \quad d\ell \delta_{ij} = 1$$

$$T = \sqrt{6} \log g^{1/3}$$

$$K = K_0 + g R$$

rel is recovered

M of the grav. field

$\approx 1$

$$P = K(z, t)$$

$$K(z, t) = 0$$

$$T \equiv \sqrt{g} \log g^{\frac{1}{3}}$$

$$\mathcal{H}_i = -2\pi^j \Big|_j$$

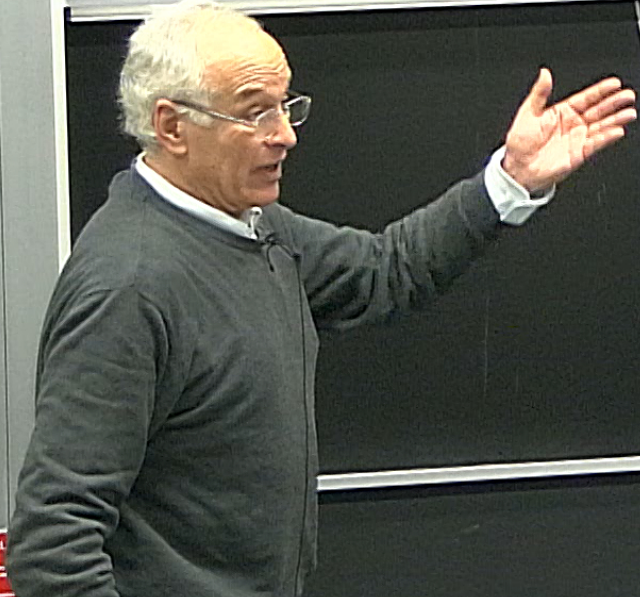
$$[\mathcal{H}_0(x), \mathcal{H}_0(x')] = 0$$

$$\begin{aligned}\mathcal{H}_0 &= -p_T^2 + \frac{\Gamma_{\text{inel}} \pi^0 \bar{\pi}^0}{(g_0)} + 2 \Lambda g \\ &= -p_T^2 + \Delta_{(s)} + 2 \Lambda g\end{aligned}$$

$$-g^{(0)} R + 2g \Lambda \Sigma^0$$

$$G_{ijkl} = \frac{1}{2} (g_{ik} g_{jl} + \dots) \stackrel{\text{constant}}{\cosine}$$

$$\mathcal{H}_i = -2\pi_i^j \Big|_j \approx 0$$



$$\Pi_x$$

$$= -\vec{p}_T^2 + \Delta_{(s)} + 2 \Lambda g$$

gravitational

$$\vec{p}_T \rightarrow \frac{1}{i} \frac{\partial}{\partial T}$$

$$T \tilde{\pi} \tilde{\pi} \rightarrow \Delta$$

$$-\frac{\partial^2}{\partial T^2} + \Delta + 2 \Lambda g$$

↑ dimension

$$-(p^0)^2 + \vec{p}^2 / m^2$$

$$(weight) \quad Y = \sqrt{G_0 \omega R^4} \pi^4 \varphi$$

*at spacetime  
surface*

$$-g^{(S)R} + 2g_{AB}$$

$$G_{ijkl} = \frac{1}{2} (g_{ik} g_{jl} + \dots) \overset{\text{constant}}{\underset{\text{constant}}{\cosine}}$$

$$Y_{ij} = -2 \Pi_{ij} \Big|_{ij} \approx 0$$

rad

Ciel

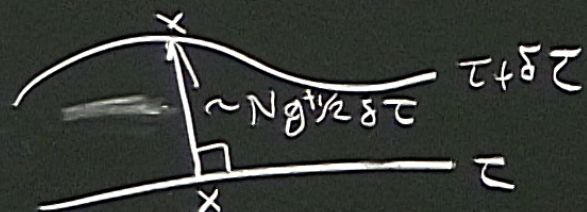
CAUTION

CAUTION

"Free propagator" will be  $\prod_x$  of things at one point

"Proper time gauge"

$$\dot{N} = 0, N^i = 0$$



$$N^+ = N g^{-1/2}$$

$\uparrow$  laps

$$\partial_\mu \phi^\mu + \underbrace{\frac{\partial x^\mu}{\partial \sigma} \frac{\partial x_\mu}{\partial \sigma}}_{\text{"}\tilde{g}^{\mu\nu}\text{"}}$$

$\frac{1}{\tilde{g}_{\mu\nu}}$

! Dmt

$$T = \sqrt{6} \log g^{1/3}$$

$$\mathcal{H}_c = -2\pi^j \Big|_j$$

$$\frac{\pi}{x}$$

$$[\mathcal{H}_0(x), \mathcal{H}_0(x')] = 0$$

$$\begin{aligned}\mathcal{H}_0 &= -\hat{p}_T^2 + \frac{\Gamma_{ijkl} \tilde{\pi}^l \tilde{\pi}^k \tilde{\pi}^m}{(\gamma_0)} + 2\lambda g \\ &= -\hat{p}_T^2 + \Delta_{(s)} + 2\lambda g\end{aligned}$$

$$\hat{p}_T \rightarrow i \bar{\partial} T$$

$$\begin{aligned}\tilde{\pi} \tilde{\pi} \tilde{\pi} &\rightarrow \Delta \\ -\frac{\partial^2}{\partial T^2} + \Delta + 2\lambda g &\quad \text{↑ dimension}\end{aligned}$$

$$G_{ijkl} = \frac{1}{2} (g_{ik} g_{jl} \delta + \dots) \overset{\text{cosm.}}{\underset{\text{constant}}{\text{constant}}}$$

$$\mathcal{H}_c = -2\pi^j \Big|_j \approx 0$$

"Calculate  $\frac{1}{\mathcal{H}_0 + \epsilon}$

Fourier analysis

a) Fourier transform in "time"  $\mathcal{H}_0 = \left( \frac{\partial^2}{\partial T^2} + \lambda e^{\frac{\sqrt{3}}{2}T} \right) - A_5$

$$\Delta \psi_\omega = -\omega^2(\lambda) \\ = \lambda_+^2 + \lambda_-^2 + \frac{1}{2}$$

$$\hbar \rightarrow 0 \quad \psi_\omega \sim H_{\epsilon \omega} \left( e^{i \omega t} \right)$$

The significance of proper-time in the Q.M of the grav. field

"Free propagator" will be  $\prod_{\lambda}$  of things at one point

"Proper time gauge"  
 $N=0$ ,  $N^{\dagger}=0$

$$N^+ = N g^{-1/2}$$

$\uparrow_{19780}$

$$\begin{aligned} & \text{Diagram: A wavy line labeled } \sim N g^{1/2} \text{ connecting two points } x \text{ and } x' \text{ with a double-headed arrow.} \\ & \psi(x, \tau) = \lambda \psi(x, \tau) \end{aligned}$$

$$(\square^2 + m^2) \phi = i \frac{\partial \phi}{\partial \tau} \left| \begin{aligned} & \langle \phi(x) - \int \psi_{\lambda}^*(x, \tau) \psi_{\lambda}(x, \tau) d^4x \rangle \\ & = \delta(\lambda - \lambda') \langle \phi(x) \rangle \quad (\text{Hilbert-Schmidt form}) \end{aligned} \right.$$

$$\partial_{\mu} \phi^{\mu} + \underbrace{\frac{\partial x^{\mu}}{\partial \sigma} \frac{\partial x_{\mu}}{\partial \sigma}}_{\text{"g"}}$$

! Dmit

3) "Momentum space"

$$K(2,1)$$

$$\frac{1}{\omega_1^2 + \omega^2(\pi_+, \pi_-) - i\epsilon} \delta(\omega_2 - \omega) \delta(\text{other 3 quantum numbers})$$

positive  
adding imaginary part to the constant

The significance of proper-time in the Q.M of the

3) "Momentum space"

$$K(2,1)$$

$$\delta(\omega_2 - \omega) \delta(\text{other 3 quantum numbers})$$

$$-\omega_1^2 + \omega^2(n_+, n_-) - i\epsilon$$

positive  
adding imaginary  
part to the cosmological  
constant

The significance of proper-time in the Q.M of the grav. field

$$\text{in 1 time} \quad \frac{d\phi}{dt} = \left( \frac{\partial^2}{\partial T^2} + \lambda e^{i\omega t} \right) - \Delta_5$$

$\tilde{\pi} \rightarrow \frac{\partial \phi}{\partial T} \sim H e^{i\omega t} (e^{i\omega t})$

Quantized field Analogous to NR particle

$$\hat{\phi}(x) = \hat{p}_x(x) + E(x)$$

spatial part energy density ( $> 0$ )

$$K(z, t) = 0$$

FIELD  $\frac{1}{z-t}$

$$\frac{1}{x} = + p_T^2 + \Delta_{(s)} + 2 \Lambda g$$

Gravitational + matter

$$- (p_T^2 + p_m^2) \quad \text{of spacetime surface}$$

$(\text{matter}) \quad \mathcal{H} = [G_{ijkl}] \pi^{ij} \varphi$

$G_{ijkl} = \frac{1}{2} (\text{geodetic} + \dots) \quad \text{constant}$

$\mathcal{H}_c = - 2 \pi \rho / c \approx 0$

"Free propagator" will be  $\frac{1}{x}$  if  $\lambda = 0$

"Proper time gauge"

$$\dot{N} = 0, \quad N = G \quad N^\perp = N g^{-1/2}$$

$$\frac{1}{x} = \frac{\partial \varphi}{\partial t} \quad \frac{1}{x} = \frac{\partial \varphi}{\partial r}$$

$$(\Box^2 + m^2) \varphi = i \frac{\partial \varphi}{\partial t} \quad \int d^4x (x_0)^2 (x_1)^2 (x_2)^2 (x_3)^2 = 8(x_0)(x_1)(x_2)(x_3)$$

in Q.M. of the grav. field

$\text{integral}$

$$[x^{(s)}] = K(z, t)$$

$K(z, t) = 0 \quad t_2 < t_1$